

還元条件の下での還元試験は幾多の困難を伴うが今後も斯様な試験が行われることが望ましい。上述の試験は一定温度でのボツシユガスを用いての還元試験であるがこの程度の試験によつても、鉱石の被還元性の難易のみならず還元の進行状況および還元の進行に伴う物理的な変化等も観察し、ある程度把握することが出来て有用であると考えている。

文 献

- 1) 学振 54 委報告 364 よび 365; 鵜野, 高橋, 神原: 鉄と鋼, 41 (1955) 1002.
- 2) J. Willems, et alii: Stahl u. Eisen, 76 (1956), 1404.

(81) 赤鉄鉱の固体還元

On the Reduction of Hematite Ore by Solid Carbon

K. Shimanaka, et alii.

北海道大学工学部

吉井 周雄・渡辺 勝也・○島中 和俊

鉄鉱石の固体還元について Tamman¹⁾, Baukloh²⁾, Saunder³⁾, Baldwin⁴⁾ 等の報告が有るがいずれも CO の生成しない状態で、鉄鉱石と固体炭素を接触せしめて還元実験を行い、このような条件下では、酸化鉄の還元はほとんど進行しないと報告している。しかしながら前記いずれの報告においても SiO₂ の還元に関しては触れていない。それに関しては、わずかに Meyer⁵⁾, 田中⁶⁾ の報告しか見られないようである。

本報告はこの点を究明せんとし 800°~1300°C の温度範囲内で、還元剤に木炭粉を用いて、hematite を遊離 O₂ の無い条件としての真空中と O₂ による CO の生成する条件としての空气中で還元し、酸化鉄と SiO₂ の還元状態を調べた。

実験は一定表面積で、接触反応を行わしむるため、hematite の大塊鉱石から一稜約 10 mm の立方体を切り出し 120°C で 10 時間乾燥したもの用い、還元用木炭粉は 20~30 mesh の粒度のものを黒鉛坩堝中に 1400°C で 2 時間焼き脱ガスしたものを用いた。

実験方法は真空中の場合は肉厚 5 mm で 20 mm φ × 60 mm の黒鉛坩堝中に前記試料を木炭粉で埋め、蓋をして、これを 10⁻⁵ mmHg の真空に保つた石英管中に装入し、高周波誘導炉で加熱した。測温は光高温計で前記黒鉛坩堝の壁に穿つてある 2 mm φ × 30 mm の孔の底の

温度を測定した。

空気中の場合は黒鉛坩堝中に試料を木炭粉で埋め、蓋をしてこれをアルミナ坩堝中に装入し、シリコニット炉で加熱した。この場合の測温は Pt-Pt·Rh 热電対を使用した。

実験結果の一例を示したのが Fig. 1 と Fig. 2 である。

Fig. 1. Reduction degree vs temperature.

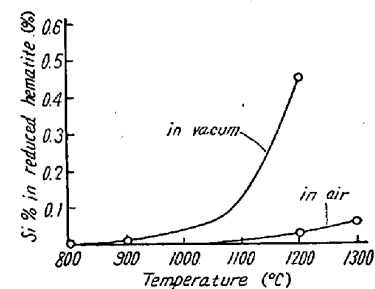
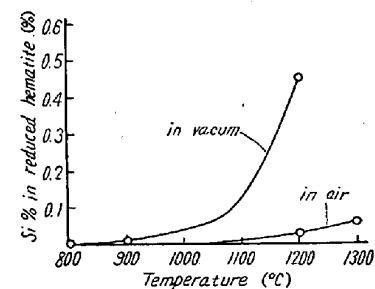


Fig. 2. Si percentage in reduced hematite vs temperature.



なお Fig. 1 の右上に hematite ore の組成を示した。Fig. 1 において鉄の還元は真空中の CO の発生しない条件のものにくらべ空気中の CO の発生する条件下のものよりその還元の度合は問題にならぬ程小さい。すなわち空气中では CO の生成があつて、それによる鉄酸化物の還元が早く、固体によるものはいちじるしくおそい。これは Baldwin の結果と符合している。

Si については空気中よりも真空中における還元の方が Si% が高い値を示している。空气中では鉄の結果より CO による還元が起つてることが推察されるが、CO による還元の有無に関せず、SiO₂ の還元は存在する固体炭素に起因している。

なお種々鉱石の種類を変え、また鉱石のサイズを変えて固体還元を行つた。

文 献

- 1) G. Tamman, A. Zworykin: Z. Anorg. Allg. Chem. 1928, 170.
- 2) W. Baukloh, G. Zimmerman: St. u. Eisen 1933, 53.
- 3) H.L. Saunder, H.J. Tress: J.I.S.I. 1947, 157.
- 4) B. G. Baldwin: J. I. S. I. 1955, 179.
- 5) Meyer: Mitt. Kais. Wiss. Inst. Bd. 9.
- 6) 田中: 鉄と鋼, 昭和 4 年, 第 15 卷.